

استفاده از ابزارهای بیوانفورماتیکی در مطالعه اگزون شماره ۲ زن *GDF9* در بزهای تالی و بیتال

Use of bioinformatics tools to study exon 2 of *GDF9* gene in Tali and Beetal goats

مرتضی هادیزاده^۱، محمدرضا محمدآبادی^۲، علی نیازی^۳، علی اسماعیلیزاده کشکوئیه^۴، یاسر مهدیزاده گزویی^۵، صدرالله مولایی^۶

۱- دانش آموخته کارشناسی ارشد، دانشیاران دانشکده کشاورزی، دانشگاه شهید باهنر کرمان

۲- دانشیار و دانش آموخته کارشناسی ارشد پژوهشکده بیوتکنولوژی، دانشکده کشاورزی، دانشگاه شیراز

۳- مرتبی بخش علوم دامی، دانشگاه جیرفت

Hadizadeh M¹, Mohammad abadi M^{2*}, Niazi A³, Esmailizadeh Koshkoiyeh A⁴, Mehdizadeh Gazooei Y⁵, Molaei Moghbeli S⁶

1,2,4. Graduate MSc and Associate Professors, Faculty of Agriculture, Shahid Bahonar University of Kerman

3,5. Associate Professor and Graduate MSc, Institutes of Biotechnology, Faculty of Agriculture, Shiraz University.

6. Instructor, Department of Animal Science, University of Jiroft

* نویسنده مسئول مکاتبات، پست الکترونیکی: mmohammadabadi@yahoo.ca

(تاریخ دریافت: ۹۱/۰۵/۸ - تاریخ پذیرش: ۹۱/۱۰/۲۴)

چکیده

بکارگیری فناوری‌های مولکولی، منجر به کشف جهش‌هایی با اثر عمده بر بازدهی تولید مثلی گوسفند و بز شده است. بیشتر این جهش‌ها در زن‌های *GDF9* و *BMP15* یافت شده‌اند. در زن *GDF9*، جهش‌های *FecGH* و *FecTT* چنین اثری دارند. با توجه به اهمیت چندفلو زایی در بز، وجود جهش‌های یاد شده و جهش‌های نوین در نژادهای بیتال و تالی برای زن *GDF9* بررسی شدند. پس از استخراج DNA از نمونه‌های خونی، واکنش PCR برای آغازگر *GDF9* صورت گرفت و تعداد ۵ فرآورده PCR از نژاد بیتال و تالی که دارای رکوردهای زایش گوناگون بودند، تعیین توالی شدند. نتیجه تعیین توالی با نرم افزار NTI Vector و رسم درخت فیلوژنی با نرم افزار MEGA ۴ انجام گرفت. با استفاده از سایت تخصصی ps2 ساختارهای سه بعدی پروتئین *GDF9* مورد بررسی قرار گرفت. در نژاد تالی تغییر نوکلوتیدی مشاهده شد. اما در افراد دارای رکورد زایش بالا در نژاد بیتال، یک جهش هتروزایگوت با جایگزینی اسید آمینه آلانین با والین یافت شد. در پیش بینی ساختار سه بعدی پروتئین، بین پروتئین جهش یافته و بدون جهش تفاوت وجود داشت. با بررسی فراوانی وجود ریشه‌های اسید آمینه و پیزه در ساختمان دوم مشخص شد آلانین تمایل ذاتی برای ایجاد مارپیچ α و والین تمایل ذاتی برای ایجاد رشته β دارد که سبب تغییر در ساختمان سه بعدی و احتمالاً عملکرد پروتئین می‌شود. بررسی درخت فیلوژنی بین چند گونه مختلف از جانداران نشان داد که توالی پروتئینی *GDF9* بز به گوسفند شبیه‌تر است.

واژه‌های کلیدی

بز بیتال،

بز تالی،

تعیین توالی،

جهش،

GDF9

مقدمه

یک ابزار کارآمد برای تعیین اساس ژنتیکی باروری بالا در نژادهای گوسفند و بز دنیا است (Davis ; Polley et al. 2009 ; 2004). پیشرفت‌های تازه در بیولوژی مولکولی و دانش آمار، امکان تعیین و بکارگیری گوناگونی ژنومی و ژنی عمدۀ را در تکامل ژنتیکی دام فراهم کرده است. از آنجا که در زندگی دام برخی صفات دیر بروز می‌کنند و یا بواسیله چند جفت ژن کنترل می‌شوند، بکارگیری گریش به کمک نشانگر موثرer است. بنابراین جستجو برای یافتن چند شکلی‌های ژنی و کاربرد آن در گریش بر پایه نشانگر، دارای اهمیت ویژه است. فناوری‌های مولکولی، امکان تعیین گوناگونی و چند شکلی بین افراد یک جمعیت را برای نواحی ویژه‌ای از DNA فراهم می‌کنند. این چند شکلی‌ها در تهیه نقشه‌های ژنی و ارزیابی گوناگونی‌های بین نشانگرها در میان فروزهای ویژه در یک خانواده اهمیت دارند. هدف از این پژوهش، بررسی جهش‌های یاد شده بالا و احتمال وجود جهش‌های نوین در دو نژاد بز بیتال و تالی در ژن *GDF9* بود.

مواد و روش‌ها

تعداد ۶۰ نمونه خون از بز تالی موجود در ایستگاه اصلاح نژاد بز تالی در شهرستان بندرعباس، جمع آوری شد، این نمونه‌گیری بر اساس شجره (والدین به نتاج) صورت گرفت. یعنی اگر نمونه گیری از مادر صورت می‌گرفت، سعی می‌شد که از نتاج مادر هم نمونه‌گیری انجام شود و در برخی موارد نمونه‌گیری از نتاج تا سه یا چهار نسل پس از مادر نیز انجام گرفت. خاستگاه بز تالی از کشورهای حوزه خلیج فارس و درصد دو قلوزایی این نژاد حدود ۲۷ درصد است. نمونه‌گیری از بزهای بیتال از گلهای مردمی در شهرستان زرند و مناطق اطراف شهر کرمان صورت گرفت و تعداد پنجاه نمونه خون از این نژاد نیز بر اساس شجره جمع آوری شد. این گلهای زیر نظر نهاد دولتی نبودند، در برخی موارد شجره‌های چند نسلی از این نژاد در گلهای مردمی به دست آمد که در ایستگاه‌های دولتی قابل دسترس نبود. خاستگاه بز بیتال، هندوستان و پاکستان است و درصد دو قلوزایی این نژاد

نرخ تخمکریزی یکی از سازه‌های مهم در تعیین بازدهی تولیدمثلی است. در گونه‌های مختلف پستانداران، گونادوتropین-ها، هورمون‌های متابولیکی و عوامل رشد پاراکرینی، گامه‌های فولیکول‌سازی و تخمکریزی را کنترل می‌کنند (Hunter et al. 2004). یافته‌های بسیاری نشان داده‌اند که عوامل پاراکرین تراوش شده به وسیله اووسیت، عملکردهای تکثیر استرویید سازی، تمایز و مرگ و میر یاخته‌ای یاخته‌های سوماتیک فولیکولی را تنظیم می‌کنند (Gilchrist et al. 2004). عوامل پاراکرین تولید شده به وسیله اووسیت، بیان بسیاری از ژن‌های یاخته‌های کومولوس را افزایش می‌دهد و عملکرد آن‌ها را تنظیم می‌کند. برای نمونه، بیان ژن‌های هیالورونیک اسید سیتاز-۲ و سیکلو اکسیژناتاز-۲ که در تکامل اووسیت نقش دارند به وسیله عامل رشد و تمایز^۱-۹ (GDF9) تنظیم می‌شود (Pangas et al. 2004). پژوهش‌هایی نیز نقش حیاتی عوامل پاراکرینی مانند عامل رشد و تمایز-۹ (GDF9) و پروتئین مورفوژنیک استخوان-۱۵ (BMP15) را در رشد آغازین فولیکول و نرخ تخمکریزی نشان دادند (McNatty et al. 2004). هنگام تکامل برونتنی، عوامل تراوش شده به وسیله اووسیت، به ویژه GDF9 و BMP15، با اثر بر عملکرد یاخته‌های کومولوس، نرخ نمو اووسیت را افزایش می‌دهند. ابرخانواده عامل رشد تبدیل کننده بتا^۳ (TGF- β)، دارای ۳۵ عضو است. نشان داده شده که بسیاری از این عوامل در تنظیم باروری مهم هستند (Shimasaki et al. 2003). مشخص شده که جهش در ژن‌های *GDF9* و *BMP15* موجب تغییر در رشد فولیکولی و ناباروری می‌شوند (Galloway et al. 2000; Hanrahan et al. 2004). در ژن *GDF9*، جهش‌های *FecGH* و *FecTT* (Nicol et al. 2009) چنین اثری دارند. ژن *GDF9* دارای ۵ قرار گرفته است. اندازه آن ۲۵۰۰ bp است و یک پیش پروتئین دارای ۴۳۵ اسید آمینه‌ای را رمزدهی می‌کند. آزمایش‌های DNA روشی در بکارگیری این ژن‌ها در صنعت دامپروری فراهم کرده و

¹ Growth Differentiation Factor-9² Bone Morphogenetic Protein-15³ Transforming Growth Factor β

نیز حدود ۵۲/۶ درصد می‌باشد (Mousavizadeh et al. 2009). استخراج DNA از خون به روش نمکی و تعیین کیفیت با ژل آگارز یک درصد انجام گرفت. آغازگرهای پیشرو و پیرو اگرون ۲ ژن *GDF9* بر اساس -
F: ۵'- ATCCCACCCCTGACGTTAAGGC
R: ۵'- TCCTCCCAAAGGCATAGACAG-

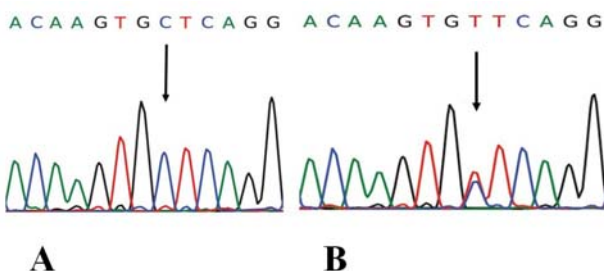
پس از تکثیر قطعه DNA مورد نظر به وسیله واکنش زنجیره‌ای PCR با آغازگر *GDF9*, ۳ نمونه از فراورده‌های PCR مربوط به بزرگوار باز بزرگوار باز، مقدار یک میکرولیتر از DNA الگو (۳۰ نانوگرم)، ۲ میکرولیتر بافر PCR، ۱۳/۶ میکرولیتر آب دیونیزه، ۰/۵ میکرولیتر dNTP، ۰/۷ میکرولیتر $MgCl_2$ ، یک میکرولیتر از آغازگرهای پیشرو و پیرو و ۰/۲ میکرولیتر آنزیم Taq DNA Polymerase با چرخه‌های گرمایی زیر قرار داده شد: دناتوراسیون اولیه به مدت پنج دقیقه و دمای ۹۴ درجه سانتی-گراد؛ انجام ۳۰ چرخه به صورت دناتوراسیون به مدت ۳۰ ثانیه و ۶۲ دمای ۹۴ درجه سانتی-گراد، اتصال به مدت ۴۵ ثانیه و دمای ۷۲ درجه سانتی- گراد و سنتز نهایی به مدت ۱۰ دقیقه و دمای ۷۲ درجه سانتی- گراد. واکنش PCR، صحت قطعه مورد نظر (1069 bp) با ژل آگارز یک درصد مشخص و تعداد ۵ نمونه (۳ نمونه از نژاد بیتل و ۲ نمونه از نژاد تالی با رکوردهای گوناگون) برای تعیین توالی به شرکت Bioneer کره جنوبی فرستاده و نتیجه تعیین توالی به وسیله نرم افزار Vector NTI بررسی شد، در صورت مشاهده تغییر نوکلئوتیدی که منجر به تغییر توالی آمینو اسیدی می‌شد، توالی مربوطه دوباره برای تعیین توالی به شرکت نامبرده فرستاده تا جهش مورد نظر تایید شود.

برای پیش‌بینی ساختار سه بعدی از سایت تخصصی <http://ps2v2.life.nctu.edu.tw> استفاده شد. برای رسم درخت فیلوژنی، توالی پروتئینی *GDF9* گونه‌های مختلف (با شماره‌های شناسایی ذکر شده در داخل پرانتز) از جمله گاو (NP777106)، گوسفند (CCI87994)، بز (نژاد مرخز- ADE45329)، اسب (NP005251)، خوک (XP001504477)، انسان (AAT67460)، موش (NP067704)، موس صحراوی (NP032136)، سگ

نتایج و بحث

پس از تکثیر قطعه DNA مورد نظر به وسیله واکنش زنجیره‌ای PCR با آغازگر *GDF9*, ۳ نمونه از فراورده‌های PCR مربوط به بزرگوار باز بزرگوار باز، مقدار یک میکرولیتر از DNA الگو (۳۰ نانوگرم)، ۲ میکرولیتر بافر PCR، ۱۳/۶ میکرولیتر آب دیونیزه، ۰/۵ میکرولیتر dNTP، ۰/۷ میکرولیتر $MgCl_2$ ، یک میکرولیتر از آغازگرهای پیشرو و پیرو و ۰/۲ میکرولیتر آنزیم Taq DNA Polymerase با چرخه‌های گرمایی زیر قرار داده شد: دناتوراسیون اولیه به مدت پنج دقیقه و دمای ۹۴ درجه سانتی- گراد؛ انجام ۳۰ چرخه به صورت دناتوراسیون به مدت ۳۰ ثانیه و ۶۲ دمای ۹۴ درجه سانتی-گراد، اتصال به مدت ۴۵ ثانیه و دمای ۷۲ درجه سانتی- گراد و سنتز نهایی به مدت ۱۰ دقیقه و دمای ۷۲ درجه سانتی- گراد. واکنش PCR، صحت قطعه مورد نظر (1069 bp) با ژل آگارز یک درصد مشخص و تعداد ۵ نمونه (۳ نمونه از نژاد بیتل و ۲ نمونه از نژاد تالی با رکوردهای گوناگون) برای تعیین توالی به شرکت Bioneer کره جنوبی فرستاده و نتیجه تعیین توالی به وسیله نرم افزار Vector NTI بررسی شد، در صورت مشاهده تغییر نوکلئوتیدی که منجر به تغییر توالی آمینو اسیدی می‌شد، توالی مربوطه دوباره برای تعیین توالی به شرکت نامبرده فرستاده تا جهش مورد نظر تایید شود.

برای پیش‌بینی ساختار سه بعدی از سایت تخصصی <http://ps2v2.life.nctu.edu.tw> استفاده شد. برای رسم درخت فیلوژنی، توالی پروتئینی *GDF9* گونه‌های مختلف (با شماره‌های شناسایی ذکر شده در داخل پرانتز) از جمله گاو (NP777106)، گوسفند (CCI87994)، بز (نژاد مرخز- ADE45329)، اسب (NP005251)، خوک (XP001504477)، انسان (AAT67460)، موش (NP067704)، موس صحراوی (NP032136)، سگ



شکل ۱- جابجایی نوکلئوتیدی در ژن *GDF9* که منجر به تغییر یک اسید آمینه شد (B)، در مقایسه با توالی نوع وحشی نژاد بیتل (A).

در شکل بالا، ساختار سه بعدی A، مربوط به پروتئین بدون جهش و ساختار B، مربوط به نوع جهش یافته می‌باشد، با مقایسه دو شکل بالا مشخص می‌شود که بین پروتئین جهش یافته تفاوت‌های ساختاری با نوع بدون جهش دارد که با علامت پیکان نشان داده شده‌اند (وجود شکاف عمیق تر و یک برآمدگی نسبت به نوع بدون جهش).

در بحث جابجایی اسید آمینه والین به آلانین، بررسی فراوانی وجود زیرواحدهای اسید آمینه ویژه در ساختمان دوم حائز اهمیت است، چون این امر عاملی است که روی ساختمان سه بعدی پروتئین اثر می‌گذارد. زیرواحدهایی مانند آلانین، گلوتامات و لوسین تمایل دارند در مارپیچ‌های α helix (α helix) شرکت کنند، در حالی که زیرواحدهایی مانند والین و ایزولوسین تمایل به وجود در رشته‌های β (β sheet) دارند (جدول ۱). این تمایل به ساختار پروتئین‌ها و پیتیدهای سنتزی بر می‌شود، برای نمونه شاخه‌دار بودن ایزولوسین، والین و ترئونین به دلیل ممانعت فضایی در اتم کربن β سبب ناپایدار کردن مارپیچ α می‌شود، درحالیکه این آمینواسیدها به آسانی در رشته‌های β قرار می‌گیرند چون در این رشته‌ها زنجیره‌های جانبی از صفحه‌ای که زنجیره اصلی در آن قرار دارد، به سمت خارج جهت‌گیری می‌کنند (Asgari et al. 2009; Moosavi-movahedi et al. 2009).

جدول ۱- فراوانی‌های نسبی ریشه‌های اسیدهای آمینه در ساختمان دوم

Amino acid	α helix	β sheet	Revers tum
Glu	1.59	0.52	1.01
Ala	1.41	0.72	0.82
Leu	1.34	1.22	0.57
Met	1.30	1.14	0.52
Gln	1.27	0.98	0.84
Lys	1.23	0.69	1.07
Arg	1.21	0.84	0.90
His	1.05	0.80	0.81
Val	0.90	1.87	0.41
Ile	1.09	1.67	0.47
Tyr	0.74	1.45	0.76
Cys	0.66	1.40	0.54
Trp	1.02	1.35	0.65
Phe	1.16	1.33	0.59
Thr	0.76	1.17	0.96
Gly	0.43	0.58	1.77
Asn	0.76	0.48	1.34
Pro	0.34	0.31	1.32
Ser	0.57	0.96	1.22
Asp	0.99	0.39	1.24

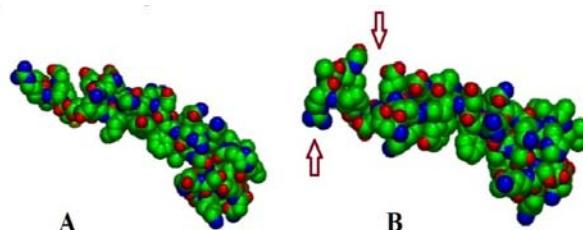
پس از ترجمه توالی DNA یاد شده به توالی‌های پروتئینی، با هم‌ردیف‌سازی توالی پروتئینی بزرگ با هفت توالی پروتئینی نژادهای بزهای بومی و غیر بومی مشخص شد که در جایگاه یاد شده تغییری در توالی اسید آمینه‌ها رخ داده است، در واقع در فرایند هم‌ردیف‌سازی مشخص شد که در ریشه ۲۷۳، اسید آمینه والین (با نام اختصاری V)، جایگزین آلانین (با نام اختصاری A) شده است (شکل ۲). قابل ذکر است زمانی که جهش منجر به تغییر اسید آمینه شد، نمونه دوباره برای تعیین توالی به شرکت BIONEER فرستاده شد، در تعیین توالی دوم نیز جهش یاد شده تایید شد.

	241	240	250	260	270	280	290	300	310
Beetal	108	KDQLQHPSARDLSLNFMTILLVAPSILLLYLNDSVQAFHRWHLHPKRKPSQGFDQRRELSAYPVGEEAAEGVRSSRHR							
Jhakrana	124	KDQLQHPSARDLSLNFMTILLVAPSILLYLNDSVQAFHRWHLHPKRKPSQGFDQRRELSAYPVGEEAAEGVRSSRHR							
Tali	108	KDQLQHPSARDLSLNFMTILLVAPSILLYLNDSVQAFHRWHLHPKRKPSQGFDQRRELSAYPVGEEAAEGVRSSRHR							
Rayini	108	KDQLQHPSARDLSLNFMTILLVAPSILLYLNDSVQAFHRWHLHPKRKPSQGFDQRRELSAYPVGEEAAEGVRSSRHR							
Black	241	KDQLQHPSARDLSLNFMTILLVAPSILLYLNDSVQAFHRWHLHPKRKPSQGFDQRRELSAYPVGEEAAEGVRSSRHR							
Lezhi	241	KDQLQHPSARDLSLNFMTILLVAPSILLYLNDSVQAFHRWHLHPKRKPSQGFDQRRELSAYPVGEEAAEGVRSSRHR							
Markhoz	241	KDQLQHPSARDLSLNFMTILLVAPSILLYLNDSVQAFHRWHLHPKRKPSQGFDQRRELSAYPVGEEAAEGVRSSRHR							
Tibetan	241	KDQLQHPSARDLSLNFMTILLVAPSILLYLNDSVQAFHRWHLHPKRKPSQGFDQRRELSAYPVGEEAAEGVRSSRHR							

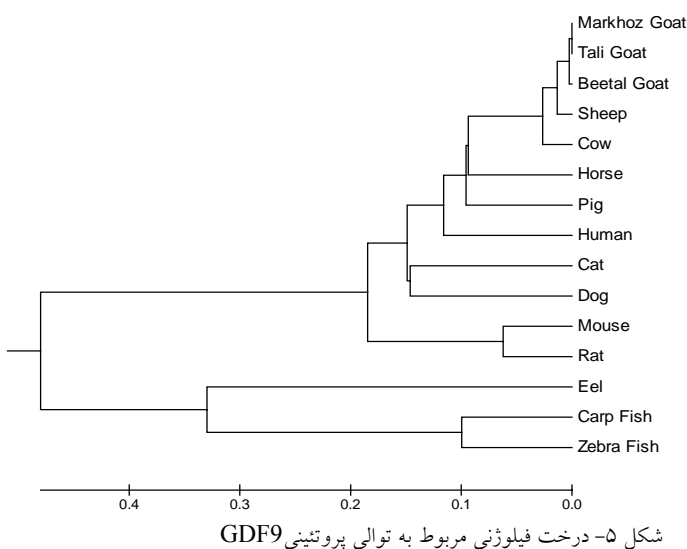
شکل ۲- تغییر اسید آمینه والین به آلانین در زیرواحدهای ۲۷۳

پس از تکثیر قطعه DNA مورد نظر به وسیله واکنش زنجیره‌ای پلی‌مراز با آغازگر GDF9، ۲ نمونه (یک نمونه نک قلوزا و یک نمونه سه قلوزا) از فرآوردهای PCR مربوط به بزرگ با هم ردیف‌سازی توالی‌های پروتئینی بزرگ با توالی‌های گرفته شده از GenBank به وسیله نرم‌افزار Vector NTI و پس از آنالیز داده‌ها مشخص شد که در این نژاد تغییری در توالی آمینو اسیدی رخ نداده است.

پیش‌بینی ساختار سه بعدی پروتئینی BMP15 نوع جهش یافته و بدون جهش به وسیله سایت <http://ps2v2.life.nctu.edu.tw> انجام گرفت (شکل ۳).



شکل ۳- ساختار سه بعدی توالی‌های پروتئینی، بدون جهش (A) و جهش دار (B)



سپاسگزاری
بدین وسیله از کلیه دوستان و همکاران بخشن علوم دامی دانشگاه شهید باهنر کرمان و پژوهشکده زیست فناوری دانشگاه شیراز به سبب همکاری صمیمانه در این پژوهش سپاسگزاری می‌شود.

منابع

- Davis GH (2004) Fecundity genes in sheep. Animal Reproduction Science 82: 247-253.
- Galloway SM, McNatty KP, Cambridge LM, Laitinen MPE, Juengel JL, Jokiranta TS, McLaren RJ, Luiron K, Dodds KG, Montgomery GW, Beattie AE, Davis GH, Ritvos O (2000) Mutations in an oocyte-derived growth factor (BMP15) cause increased ovulation rate and infertility in a dosage-sensitive manner. Nature Genetics 25: 279-283.
- Gilchrist RB, Ritter LJ, Armstrong DT (2004) Oocyte-somatic cell interactions during follicle development in mammals. Animal Reproduction Science 83: 431-446.
- Hanrahan JP, Gregan SM, Mulsant P, Mullen M, Davis GH, Powell R, Galloway SM (2004) Mutations in the genes for oocyte-derived growth factors GDF9 and BMP15 are associated with both increased ovulation rate and sterility in Cambridge and Belclare sheep (*Ovis aries*). Biology of Reproduction 70: 900-909.
- Hunter MG, Robinson RS, Mann GE, Webb R (2004) Endocrine and paracrine control of follicular development and ovulation rate in farm species. Animal Reproduction Science 83: 461-477.
- McNatty KP, Moore LG, Hudson NL, Quirke LD, Lawrence SB, Reader K, Hanrahan JP, Smith P, Groome NP, Laitinen M, Ritvos O, Juengel JL (2004) The oocyte and its role in regulating ovulation rate: a new paradigm in reproductive biology. Reproduction 128: 379-386.

برای مثال برخی بیماری‌های عصبی عفونی به وسیله عواملی انتقال داده می‌شوند که از نظر اندازه مشابه ویروس‌ها هستند، ولی تنها شامل پروتئین می‌باشند. این بیماری‌ها شامل آنسفالوپاتی اسفنجی شکل گاوی^۱ (جنون گاوی)، بیماری کروتزفلد-ژاکوب^۲ در انسان و اسکرایپی^۳ در گوسفند می‌باشد. با بررسی این عوامل عفونی مشخص شد که عامل انتقال این بیماری‌ها مشتمل از شکل‌های تجمع یافته یک پروتئین است، این تجمعات پروتئینی مقاوم به درمان با عواملی هستند که بیشتر پروتئین‌ها را از بین می‌برند، بیشتر یا تمامی این پروتئین‌ها از یک پروتئین سلولی طبیعی به نام PrP مشتق می‌شوند که در مغز وجود دارد. ساختمان پروتئین سلول طبیعی PrP نسبت به ساختمان پروتئین در این تجمعات دارای نواحی گسترده‌ای از مارپیچ α و مقادیر کم ساختمان رشته β می‌باشند (Mohammadi 2009). بنابراین تغییر در کونفورماسیون‌های مارپیچی α یا کونفورماسیون‌های صفحه β می‌تواند روی عملکرد پروتئین تاثیرگذار باشد.

رسم درخت فیلوزنی به وسیله نرم افزار MEGA 4 انجام گرفت، برای رسم این درخت توالی پروتئینی نژادهای تالی، بیتل و مرخوز استفاده شد، علاوه بر این از توالی پروتئین GDF9 گونه هایی مانند گاو، گوسفند، اسب، خوک، موش خانگی و صحرایی، ماهی زبرا و کپور، مارماهی، سگ، گربه و انسان مورد بررسی قرار گرفت (شکل ۵).

همانطور که در شکل بالا مشاهده می‌شود، نزدیکترین شباهت به توالی پروتئین بز، توالی پروتئینی گوسفند (۹۸/۱) و پس از آن گاو می‌باشد (۹۵/۳). توالی پروتئینی اسب بیشترین شباهت را به توالی نشخوارکنندگان و از طرفی توالی پروتئینی ماهی زبرا کمترین شباهت را به توالی نشخوارکنندگان، به ویژه بز دارد (۳۳/۶). توالی پروتئینی انسان به توالی پروتئینی خوک شباهت بیشتری داشت (۷۶/۵).

¹ Bovine spongiform encephalopathy

² Cerutzfeldt-Jakob disease

³ Scrapie

- Mohammadi R (2009) Biochemistry, Aeezh publisher, Tehran, Iran (In Farsi).
- Moosavi-Movahedi A, Jamni A, Taghvi A, Moghadamnia SA (2009) Proteins Structure and Function. Tehran University Press, Tehtan, Iran (In Farsi).
- Mousavizadeh A, Mohammadabadi MR, Torabi A, Nassiry MR, Ghiasi H, Esmailizadeh KA (2009) Genetic polymorphism at the growth hormone locus in Iranian Talli goats by polymerase chain reaction-single strand conformation polymorphism (PCR-SSCP). Iranian Journal of Biotechnology 7: 51-53.
- Nicol L, Stephen C Bishop, Ricardo Pong-Wong, Christian Bendixen, Lars-Erik Holm, Stewart M Rhind, Alan S McNeilly (2009) Homozygosity for a single base-

- pair mutation in the oocyte-specific GDF9 gene results in sterility in Thoka sheep. Reproduction 138: 921-933.
- Pangas SA, Jorgez CJ, Matzuk MM (2004) Growth differentiation factor 9 regulates expression of the bone morphogenetic protein antagonist gremlin. Journal of Biological Chemistry 279: 32281-32286.
- Polley Sh, De S, Batabyal S, Kaushik R, Yadav P (2009) Polymorphism of fecundity genes (BMPR1B, BMP15 and GDF9) in the Indian prolific Black Bengal goat. Small Ruminant Research 85: 122-129
- Shimasaki S, Moore RK, Erickson GF, Otsuka F (2003) The role of bone morphogenetic proteins in ovarian function. Reproduction Supplement 61:323-337.